

การทำโครงสร้างของ ไตรฮาฟเนียมฟอสไฟด์

โดยการเลี้ยวเบนของรังสีเอ็กซ์



นายวิวัฒน์ พัฒนสิน

004843

วิทยานิพนธ์นี้เป็นส่วนหนึ่งของการศึกษาตามหลักสูตรปริญญาวิทยาศาสตรมหาบัณฑิต

ภาควิชาฟิสิกส์

บัณฑิตวิทยาลัย จุฬาลงกรณ์มหาวิทยาลัย

พ.ศ. 2523

STRUCTURE DETERMINATION OF TRIHAFNIUM PHOSPHIDE

BY X-RAY DIFFRACTION

Mr. Viwat Patanasin

A Thesis Submitted in Partial Fulfillment of the Requirements

for the Degree of Master of Science

Department of Physics

Graduate School

Chulalongkorn University

1980

หัวข้อวิทยานิพนธ์ การหาโครงสร้างของไตรฮาฟเนียมฟอสไฟต์ โดยการเลี้ยวเบนของ
 รังสีเอ็กซ์

โดย นายวิวัฒน์ พัฒนสิน

ภาควิชา ฟิสิกส์


อาจารย์ที่ปรึกษา ผู้ช่วยศาสตราจารย์ ดร.ศรีนวล วัฒนอมกุล


บัณฑิตวิทยาลัย จุฬาลงกรณ์มหาวิทยาลัย อนุมัติให้หัวข้อวิทยานิพนธ์ฉบับนี้เป็นส่วนหนึ่ง
 ของการศึกษาตามหลักสูตรปริญญาวิทยาศาสตรบัณฑิต

.....คณบดีบัณฑิตวิทยาลัย
 (รองศาสตราจารย์ ดร.สุประทีพร บุณนาค)

คณะกรรมการสอบวิทยานิพนธ์

 ประธานกรรมการ
 (รองศาสตราจารย์ สุพนิจ พรานหมาศ)

 กรรมการ
 (ผู้ช่วยศาสตราจารย์ ดร.ศรีนวล วัฒนอมกุล)

 กรรมการ
 (ผู้ช่วยศาสตราจารย์ ดร.พัฒนะ ภาชนะนนท์)

หัวข้อวิทยานิพนธ์ การหาโครงสร้างของไตรฮาฟเนียมฟอสไฟด์โดยการเลี้ยวเบนของรังสีเอ็กซ์
 ชื่อ นิสิต นายวิวัฒน์ พัฒนสิน
 อาจารย์ที่ปรึกษา ผู้ช่วยศาสตราจารย์ ดร.ศรินวล ถนนอมกุล
 ภาควิชา ฟิสิกส์
 ปีการศึกษา 2522



บทคัดย่อ

การวิจัยหาโครงสร้างของไตรฮาฟเนียมฟอสไฟด์, Hf_3P ได้อาศัยวิธีการเลี้ยวเบนของรังสีเอ็กซ์ บันทึกความเข้มของรังสีเอ็กซ์ที่เลี้ยวเบนด้วยภาพถ่ายแบบไวซ์เซนเบอร์ก และวัดความเข้มด้วยตา โดยเปรียบเทียบกับความเข้มมาตรฐานที่สร้างขึ้น มิติของหน่วยเซลล์อย่างละเอียดหาได้จากการถ่ายภาพผลึกผง ซึ่งใช้ซิลิกอนเป็นสารมาตรฐาน ข้อมูลทางผลึกวิทยาของ Hf_3P มีค่าดังนี้

ระบบผลึก	เททราโกนอล
a	$10.6671 \pm 0.0004 \text{ \AA}$
c	$5.2919 \pm 0.0002 \text{ \AA}$
หมู่สมมาตร	$P4_2/n$
สัมประสิทธิ์การดูดกลืนเชิงเส้น (μ)	1093 (ช.ม.) ⁻¹
จำนวนโมเลกุล/หน่วยเซลล์ (Z)	8
ความหนาแน่นจากการคำนวณ (D_c)	12.49 กรัม (ช.ม.) ⁻³
ความหนาแน่นจากการทดลอง (D_m)	12.31 กรัม (ช.ม.) ⁻³

ตำแหน่งของอะตอมหนัก Hf_1 และ Hf_3 หาได้จากแผนภาพแพทเทอรัน ซึ่งคำนวณจากจุดสะท้อน 341 จุด ส่วนตำแหน่งของอะตอมที่เหลือหาจากแผนภาพความหนาแน่นของอิเล็กตรอน ซึ่งค่าเฟสได้จากตำแหน่งของ Hf_1 และ Hf_3 การเกลารูปโครงสร้างโดยวิธีกำลังสองน้อยที่สุด

ใช้จุดสะท้อนชุดเดิม ได้ค่า R เท่ากับ 0.073 ตำแหน่งอะตอม ซึ่งมีค่าเบี่ยงเบนมาตรฐานอยู่ในวงเล็บ มีค่าดังนี้

	x	y	z
Hf ₁	0.9305 (2)	0.4656 (3)	0.7614 (11)
Hf ₂	0.8578 (2)	0.1652 (2)	0.7803 (10)
Hf ₃	0.1119 (2)	0.2780 (2)	0.5268 (11)
P	0.0428 (14)	0.2878 (15)	0.0275 (61)

โครงสร้างของ Hf₃P เป็นแบบ Ti₃P จำนวนอะตอมข้างเคียงของ Hf₁, Hf₂, Hf₃ และ P มีค่าเท่ากับ 13, 14, 12 และ 9 ตามลำดับ อะตอมข้างเคียงทุกชุดจัดตัวประกอบกันในลักษณะรูปหลายเหลี่ยม มี Hf₁ (หรือ Hf₂ หรือ Hf₃ หรือ P) อยู่ประมาณศูนย์กลางของรูปหลายเหลี่ยมนั้น

Thesis Title Structure Determination of Trihafnium Phosphide by
 X-Ray Diffraction

Name Mr. Viwat Patanasin

Thesis Advisor Assistant Professor Srinuan Thanomkul Dr. Ing.

Department Physics

Academic Year 1979

Abstract

The structure investigation of trihafnium phosphide, Hf_3P was determined by X-Ray Diffraction method. The intensities of diffracted X-Ray were recorded by Weissenberg photographs and visually measured by comparing with a constructed standard wedge. The accurate cell dimensions were determined by the powder photographing technique with silicon as the internal standard substance. The crystallographic data of Hf_3P is as follows

crystal	tetragonal
a	$10.6671 \pm 0.0004 \text{ \AA}$
c	$5.2919 \pm 0.0002 \text{ \AA}$
space group	$P4_2/n$
linear absorption coefficient (μ)	1093 (cm.)^{-1}
molecules/unit cell (Z)	8
calculated density (D_c)	12.49 g.cm.^{-3}
measured density (D_m)	12.31 g.cm.^{-3}

The positions of heavy atoms, Hf_1 and Hf_3 were obtained from the calculated Patterson maps of 341 reflections. The other atomic positions were then determined from the electron density maps with phases from Hf_1 and Hf_3 . The least-squares refinement based on the same set of reflections yielded the R-value of 0.073. The atomic positions with standard deviations in the brackets are as follows

	x	y	z
Hf_1	0.9305 (2)	0.4656 (3)	0.7614 (11)
Hf_2	0.8578 (2)	0.1652 (2)	0.7803 (10)
Hf_3	0.1119 (2)	0.2780 (2)	0.5268 (11)
P	0.0428 (14)	0.2878 (15)	0.0275 (61)

The structure of Hf_3P belongs to Ti_3P -type. The numbers of the nearest neighbours of Hf_1 , Hf_2 , Hf_3 and P are 13, 14, 12 and 9 respectively. Each set of the nearest neighbours forms a polyhedron with Hf_1 (or Hf_2 or Hf_3 or P) sitting roughly at its center.



กิตติกรรมประกาศ

วิทยานิพนธ์นี้สำเร็จลงได้ด้วยความกรุณาของอาจารย์ ผศ.ดร.ศรีนวล ถนอมกุล
ซึ่งให้การปรึกษา คำแนะนำ และความช่วยเหลือ ในทุกด้านอย่างดียิ่ง จึงขอขอบพระคุณท่าน
ไว้ ณ ที่นี้

การวิจัยครั้งนี้ได้รับคำแนะนำการใช้เครื่องมือในห้องปฏิบัติการรังสีเอกซ์ภาควิชาฟิสิกส์
จากอาจารย์ รศ. สุพนิช พรหมทัต และ ผศ.ดร. พัฒนะ ภาชนะนันท์ ผู้เขียนจึงขอขอบพระคุณ
อาจารย์ทั้งสองท่าน และขอขอบคุณทางศูนย์บริการคอมพิวเตอร์ จุฬาลงกรณ์มหาวิทยาลัย ที่ได้
อนุญาตให้ใช้เครื่อง และบริการด้วยดีมาตลอด

อนึ่ง ในระหว่างการศึกษา ผู้เขียนได้รับทุนการศึกษาจากโครงการพัฒนามหาวิทยาลัย
จึงขอขอบพระคุณต่อโครงการ ฯ ไว้ ณ ที่นี้ด้วย

สารบัญ

หน้า

บทคัดย่อ	๗
กิตติกรรมประกาศ	๘
รายการตารางประกอบ	๙
รายการรูปประกอบ	๑๐



บทที่

1. บทนำ	1
2. ทฤษฎีการเลี้ยวเบนรังสีเอ็กซ์และทฤษฎีการทำโครงสร้าง	3
2.1 การเลี้ยวเบนรังสีเอ็กซ์	3
2.1.1 การเลี้ยวเบนรังสีเอ็กซ์ตามเงื่อนไขของลาวี	3
2.1.2 กฎของแบรกก์	6
2.1.3 แลตทิสส่วนกลับ	7
2.2 การถ่ายภาพผลึกเดี่ยว	10
2.2.1 ภาพถ่ายแบบผลึกหมุน	11
2.2.2 ภาพถ่ายแบบไวซ์เซนเบอร์ก	13
2.3 การทำโครงสร้างผลึก	20
2.3.1 แพคเตอร์โครงสร้างและความหนาแน่นอิเล็กตรอน	20
2.3.2 การแก้ปัญหาลอสโดยฟังก์ชันแพทเทอร์สัน	23
3. การขาดหายไปของจุดสะท้อนเนื่องจากหมู่สมมาตร	26
3.1 การขาดหายไปเนื่องจากแลตทิสแบบนอนพริมีทีฟ	26
3.1.1 แลตทิสแบบ A, แบบ B และแบบ C	29

3.1.2	แลททิสแบบ I	30
3.1.3	แลททิสแบบ F	32
3.1.4	แลททิสแบบ R	33
3.2	การขาดหายไปเนื่องจากระนาบเลื่อน	35
3.2.1	ระนาบเลื่อนที่มีการเลื่อนตามแกน	38
3.2.2	ระนาบเลื่อนที่มีการเลื่อนแบบ n	39
3.2.3	ระนาบเลื่อนที่มีการเลื่อนแบบ d	41
3.3	การขาดหายไปเนื่องจากแกนเกลียว	44
4.	การทดลอง	47
4.1	การหาค่าความหนาแน่นของสารประกอบไตรฮาฟเนียม ฟอสไฟด์	47
4.2	เลือกผลึกเดี่ยวและติดตั้งผลึก	47
4.2.1	เลือกผลึกเดี่ยว	47
4.2.2	การติดตั้งผลึก	49
4.3	การปรับแกน	50
4.4	การถ่ายภาพแบบออสซิลเลชัน	53
4.5	การถ่ายภาพแบบไวซ์เซนเบอร์ก	55
4.6	การหาค่ามิติของเซลล์ a , b และ γ^*	60
4.7	การตรวจสอบมุมสมมาตร	61
4.8	การวัดความเข้มของจุดสะท้อนต่าง ๆ บนฟิล์ม	64
4.9	การถ่ายภาพผลึกผง	66

5.	การคำนวณหาโครงสร้างของผลึก	69
5.1	การคำนวณค่ามิติของหน่วยเซลล์อย่างละเอียด	69
5.2	การคำนวณขนาดของแพคเตอร์โครงสร้าง	70
5.2.1	การหาค่าสัมประสิทธิ์การดูดกลืนเชิงเส้น	71
5.2.2	การกำหนดค่าดัชนีของระนาบที่บิดล้นผลึก	73
5.3	การหาตำแหน่งอะตอม	81
5.4	การเกล้าโครงสร้าง	92
6.	สรุปและวิจารณ์	102
	เอกสารอ้างอิง	126
	ประวัติผู้เขียน	128

รายการตารางประกอบ

ตาราง		หน้า
3-1	แสดงชนิดของการเลื่อนแบบต่าง ๆ	36
3-2	แสดงเงื่อนไขการเกิดจุดสะท้อนเนื่องจากระนาบเลื่อน	43
3-3	แสดงเงื่อนไขการเกิดจุดสะท้อนเนื่องจากแกนเกลียว	46
4-1	แสดงการหาค่า c	55
4-2	แสดงเวลาที่ใช้ถ่ายและชนิดของแผ่นกันระหว่างฟิล์ม ของฟิล์มแต่ละชุด	56
4-3	แสดงค่ามุม μ_ℓ และ S_ℓ	57
4-4	แสดงการคำนวณหาค่า a	60
4-5	แสดงเงื่อนไขต่าง ๆ ของการเกิดจุดสะท้อน ของผลึก Hf_3P	64
4-6	แสดงค่า S ของเส้นต่าง ๆ ในรูป 4-10	67
5-1	แสดงการหาค่า p_i	72
5-2	แสดงค่าดัชนีมิลเลอร์ของระนาบที่บิดล้อมผลึก และระยะจากจุดกำเนิดถึง ระนาบ (r)	80
5-3	แสดงเวกเตอร์ฮาร์คเกอร์ ที่ได้จากโคออดิเนตของตำแหน่งเทียบเท่าของ หมู่สมมาตร $P4_2/n$ เมื่อจุดกำเนิดอยู่ที่ $\bar{1}$	82
5-4	แสดงตำแหน่งอะตอมของ Nb_3As	87
5-5	แสดงตำแหน่งอะตอมของ Hf_3P	92
5-6	แสดงตำแหน่งอะตอมหลังจากปรับโดยวิธีบูธ เปรียบเทียบกับตำแหน่งเดิม ..	93
5-7	แสดงตำแหน่งของอะตอมและค่า B_{iso} ที่ R มีค่าเท่ากับ 0.0728	96
5-8	แสดงค่า $ F_o _{hkl}$ และ $ F_c _{hkl}$ เมื่อสิ้นสุดการเกล็ดโครงสร้าง Hf_3P ..	98

6-1	(ก) แสดงข้อมูลต่าง ๆ ของผลึก Hf_3P	102
	(ข) แสดงตำแหน่งของอะตอมฮาฟเนียม และฟอสฟอรัสที่ได้จากการเกลาค ครั้งสุดท้าย	103
6-2	(ก) แสดงตำแหน่งของอะตอมต่าง ๆ ในรูป 6-2	106
	(ข) แสดงระยะและมุมระหว่างอะตอมต่าง ๆ ที่ล้อมรอบ Hf_1 ในรูป 6-2	107
6-3	(ก) แสดงตำแหน่งของอะตอมต่าง ๆ ในรูป 6-3	111
	(ข) แสดงระยะและมุมระหว่างอะตอมต่าง ๆ ที่ล้อมรอบ Hf_2 ในรูป 6-3	112
6-4	(ก) แสดงตำแหน่งของอะตอมต่าง ๆ ในรูป 6-4	117
	(ข) แสดงระยะและมุมระหว่างอะตอมต่าง ๆ ที่ล้อมรอบ Hf_3 ในรูป 6-4	118
6-5	(ก) แสดงตำแหน่งของอะตอมต่าง ๆ ในรูป 6-5	122
	(ข) แสดงระยะและมุมระหว่างอะตอมต่าง ๆ ที่ล้อมรอบ P ในรูป 6-5	123

รายการรูปประกอบ

รูป		หน้า
2-1	แสดง การเลี้ยวเบนของรังสีเอ็กซ์ โดยพิจารณาจุดแลททิสในแกน a	4
2-2	แสดง การเลี้ยวเบนของรังสีเอ็กซ์ตามเงื่อนไขของลาวฮี ใน 3 มิติ	6
2-3	แสดง การสะท้อนรังสีเอ็กซ์โดยชุดระนาบของผลึก	7
2-4	แสดง รูปสามเหลี่ยมมุมฉากที่เขียนจากสมการ (2-8)	8
2-5	แสดง ทิศทางรังสีเอ็กซ์ที่ตกกระทบ และสะท้อนกับผลึก ตามกฎของแบรกก์	9
2-6	แสดง หน่วยเซลล์ของแลททิสส่วนกลับบนหน่วยเซลล์แบบออร์ทอโรมบิก	10
2-7	แสดง การถ่ายภาพแบบผลึกหมุนโดยมี θ เป็นแกนหมุน	11
2-8	แสดง แนวของจุดสะท้อนบนภาพถ่ายแบบผลึกหมุน	13
2-9	แสดง การติดตั้งที่กันเลี้ยวเออร์ สำหรับการถ่ายภาพแบบไวซ์เซนเบอร์ก เลี้ยวเออร์ที่ศูนย์	14
2-10	แสดง การถ่ายภาพแบบไวซ์เซนเบอร์ก เลี้ยวเออร์ที่ θ	15
2-11	แสดง ตัวอย่างภาพถ่ายแบบไวซ์เซนเบอร์ก เลี้ยวเออร์ที่ศูนย์	17
2-12	แสดง ความสัมพันธ์ระหว่าง E_h กับ Y_h	18
2-13	แสดง ผลรวมของแฟคเตอร์การกระเจิง	21
2-14	แสดง ความสัมพันธ์ระหว่างตำแหน่งอะตอมในสเปซของผลึก กับค่าพีคของ ฟังก์ชันแพทเทอร์สันในสเปซแพทเทอร์สัน	24
3-1	แสดง หน่วยเซลล์แบบ รมิทและแบบนอนพ รมิท ในแลททิสเดียวกัน	27
3-2	แสดง แลททิสแบบ C ซึ่งได้แสดงหน่วยเซลล์แบบพ รมิทไว้ด้วย	29
3-3	แสดง แลททิสแบบ I ซึ่งแสดงหน่วยเซลล์แบบพ รมิทไว้ด้วย	31
3-4	แสดง แลททิสแบบ F ซึ่งแสดงหน่วยเซลล์แบบพ รมิทไว้ด้วย	32
3-5	แสดง แลททิสแบบ R ซึ่งแสดงหน่วยเซลล์แบบพ รมิทไว้ด้วย	34

รูป		หน้า
3-6	แสดง การปฏิบัติของระนาบเลื่อนที่มีการเลื่อนตามแกน a ใน 1 มิตี	37
3-7	แสดง การปฏิบัติของระนาบเลื่อนที่มีการเลื่อนตามแกน a ใน 2 มิตี	38
3-8	แสดง การปฏิบัติของระนาบเลื่อนที่มีการเลื่อนแบบ n	40
3-9	แสดง การปฏิบัติของระนาบเลื่อนที่มีการเลื่อนแบบ d	41
3-10	แสดง การปฏิบัติของแกนเกลียว 4_2 โดยที่แกนเกลียวนี้ขนานกับแกน c	44
4-1	แสดงรูปร่างและขนาดของผลึกเดี่ยว (เป็นมิลลิเมตร) ที่ถูกเลือกนำมาใช้ในการวิจัยครั้งนี้	48
4-2	แสดงผลึกเดี่ยวที่ติดกับปลายของใยแก้ว	49
4-3	แสดงการติดตั้งผลึกที่สมบูรณ์	50
4-4	(ก) แสดงตำแหน่งของอาร์คทั้งสอง	51
	(ข) แสดงจุดสะท้อน R และ \bar{R} บนฟิล์ม โดยที่จุดทั้งสองสมนัยกับจุดแลตทิสส่วนกลับ A และ \bar{A} ตามลำดับ จุด R และ \bar{R} นี้ อยู่ห่างจากกึ่งกลางฟิล์มเป็นระยะ 45 มิลลิเมตร	51
4-5	แสดงภาพถ่ายออสซิลเลชันของผลึก Hf_3P โดยใช้รังสีเอ็กซ์ชนิด CuK_α ที่ 34 kV, 20 mA เวลาที่อาบรังสี 12 ชั่วโมง	54
4-6	(ก) แสดงภาพถ่ายแบบไวซ์เซนเบอร์กเลย์เออร์ที่ศูนย์ ของ Hf_3P	58
	(ข) แสดงภาพถ่ายแบบไวซ์เซนเบอร์กเลย์เออร์ที่ 1 ของ Hf_3P	58
	(ค) แสดงภาพถ่ายแบบไวซ์เซนเบอร์กเลย์เออร์ที่ 2 ของ Hf_3P	59
	(ง) แสดงภาพถ่ายแบบไวซ์เซนเบอร์กเลย์เออร์ที่ 3 ของ Hf_3P	59
4-7	แสดงเส้น h และเส้น k ที่ลากตามแผนภาพไวซ์เซนเบอร์ก บนรูปที่ลอกมาจากภาพถ่ายแบบไวซ์เซนเบอร์กเลย์เออร์ที่ศูนย์ ของ Hf_3P ซึ่งถ่ายโดยใช้รังสีเอ็กซ์ชนิด CuK_α	62

รูป		หน้า
4-8	แสดงแลททิสส่วนกลับของผลึก Hf_3P โดยแยกออกเป็นเลเยอร์ต่าง ๆ ...	
4-9	แสดงภาพถ่ายผลึกผงของ Hf_3P ใช้เวลาอบรังสี $1\frac{1}{2}$ ชั่วโมง	66
5-1	แสดงแบบจำลองของผลึก ระยะเป็นมิลลิเมตร	73
5-2	แสดงแกนที่ผลึกหมุนรอบ หรือแกน c ภาพนี้ผลึกตั้งอยู่ที่มุม 162.6° ซึ่ง แกน a ตั้งฉากกับลำของรังสีเอ็กซ์ที่ตกกระทบพอดี ทิศทางของรังสีเอ็กซ์ ตกกระทบพุ่งเข้ากระดาศ	74
5-3	แสดงแกน a^* และแกน b^* ของภาพถ่ายแบบไวซ์เซนเบอร์ก์เลเยอร์ ที่ศูนย์ ค่า ω เท่ากับ 0-200 องศา	
5-4	แสดงแกน b^* ขณะที่ตั้งฉากกับลำของรังสีเอ็กซ์ที่ตกกระทบ ซึ่งมีค่า ω เท่ากับ 72.6 องศา	
5-5	แสดงแกนต่าง ๆ ที่กำหนดลงในผลึกจำลอง และระนาบต่าง ๆ ที่ ปิดล้อมผลึก	78
5-6	(ก) แสดงแผนภาพแพทเทอร์สัน, $P(u,v,0)$	83
	(ข) แสดงแผนภาพแพทเทอร์สัน, $P(u,v,0.25)$	84
	(ค) แสดงแผนภาพแพทเทอร์สัน, $P(u,v,0.5)$	85
5-7	(ก) แสดงแผนภาพความหนาแน่นของอิเล็กตรอนที่ $z = 0$	88
	(ข) แสดงแผนภาพความหนาแน่นของอิเล็กตรอนที่ $z = 0.25$	89
	(ค) แสดงแผนภาพความหนาแน่นของอิเล็กตรอนที่ $z = 0.5$	90
	(ง) แสดงแผนภาพความหนาแน่นของอิเล็กตรอนที่ $z = 0.75$	91
6-1	แสดงภาพถ่ายของอะตอมต่าง ๆ ในหนึ่งหน่วยเซลล์ตามแกน c	103
6-2	แสดงอะตอมข้างเคียงของ Hf_1	105
6-3	แสดงอะตอมข้างเคียงของ Hf_2	110
6-4	แสดงอะตอมข้างเคียงของ Hf_3	116
6-5	แสดงอะตอมข้างเคียงของ P	121